

معالجة التشوهات الناتجة من عملية إزالة الضوضاء الجمعية من الصور الرقمية باستخدام مرشح المنوال

Studying the Distortions produced from Additive Noise Removing
From Digital Images using mode Filter

م.م. أوراس موسى عمران
جامعة كربلاء / كلية العلوم / قسم الفيزياء
E-mail :- Auras . M.Omran

الخلاصة :

تعد الضوضاء المرافقة لأنظمة التصوير المختلفة من اعقد المشاكل التي واجهت عملية تحليل الصورة الخبرية واستنتاج المعلومات منها وبهذا تقل الفائدة المرجوة منها. وان منظومات التصوير لا تعطي صورا تامة ومثالية، وإنما غالبا ما تعطي صورا بوضوحيات محددة أي لا تعطي صورا بحافات حادة وإنما حافات عريضة نوعا ما فيها شيء من الغشاوة. ان اهم معلومات وتفاصيل الصورة ومحتواء في حافات وحدود المناطق داخل الصورة . لذا فإن تخمين جودة الصورة يجب ان لا تأخذ بشكل عام لكل مستوى الصورة من دون تمييز مناطق الصورة المهمة من غير المهمة . إن اغلب معايير تقييم الصورة لا تعتمد على تحديد جودة الحافات في الصورة وقياس حدتها ، وإنما تعتمد التقييم العام أو تقييم مناطق الصورة المتباينة بذلك اتجهنا في دراستنا إلى تقييم الصورة بالاعتماد على حساب التباين والانتروبي و معدل مربع الخطأ لمناطق الحافات في الصورة وإيجاد المعايير الكمية الرصينة لتقدير جودة الصورة ومن ثم كفاءة المعالجة المختلفة للصورة الرقمية . اعتمدنا في دراستنا تأثيرات عملية تتعيم الصورة لإزالة الضوضاء (الكلاووسيية) بشكل متتابع باستخدام مرشح المنوال وتحديد مقدار التشوه والغشاوة في الصورة وتم ذلك باعتماد معايير تقييم الجودة المقترنة في هذه الدراسة.

Abstract:

Noise accompanying to different imaging systems is the most complex Problems that stand against the image analytic and concluding information , so the benefit was few .Imaging systems don't give perfect ideal images , but they often give images with limited clearness (i-e they don't give images with sharp edges) . The important image information and details are contained in the image edge regions , so the estimation of image quality must not taken generally for all image plane without recognize the important image regions .Most image evaluation measurements don't depend on determining image edges quality and its sharpness , but depend on general evaluation for all image plane . In this paper we shall examine the image quality by calculate the contrast , entropy , and the mean square error in the image edge regions , also find the quantity measurements to evaluate the image goodness and then the efficiency of different processing for digital image .We depend on effects of image smoothing to remove Gaussian noise by using (average filter mode filter) and determine the amount of blurring in the image .

١- المقدمة :

إن تطور أنظمة الاتصالات وتداول المعلومات جاء مواكباً لنطمور أنظمة الحاسوب وأزدياد سعتها الخزنية وسرعة معالجتها للبيانات الرقمية مما سهل عملية تداول ومعالجة بيانات المعلوماتية سواء كانت صوتية أو نصية أو صورية ولعل الصورة تعد من ابرز واهم المعلومات الخبرية [1]، والصورة هي وصف تغير التحسس البصري لسطح ما يراد تسجيله بصرياً إن الصورة عادة لا يمكن الحصول عليها بصورة تامة (صورة مثالية) من مصدرها وذلك لأسباب عديدة منها محدودية المنظومة البصرية وعدم مثاليتها وذلك بسبب وجود عيوب لا يمكن تلافيها في أنظمة التصوير فضلاً عن المؤثرات الخارجية من ظروف جوية أو حرارة الجسم أو منظومة التصوير إثناء التقاط الصور. هذه العيوب كلها تؤدي إلى أنواع مختلفة من التشوهات والتريات في جودة الصورة الناتجة من أنظمة التصوير [2]. لذا يجب معالجة هذه التريات للحصول على صور جيدة يمكن تحليلها والاستفادة منها. فقد طورت واستحدثت العديد من تقنيات إزالة التشوهات. كما استخدمت العديد من تقنيات الترشيح لإزالة الضوضاء المرافقة للصور الرقمية وتقليل تأثيرها إلا إن اغلب عمليات المعالجة ليست خالية من العيوب تماما وإنما تحسن في بعض الأحيان موقع وتشوه مواقع أخرى لذلك اقترحت العديد من المعايير لفحص جودة الصورة كميًا وعيانيًا [3]. لغرض تخمين كفاءة تقنيات المعالجة وتحديد جودة الصور المعالجة ، ودرجة تأثيرها بالمعالجة.

2- الضوضاء والعيوب في الصور الرقمية

ان اسباب ظهور الضوضاء في الصورة الرقمية عديدة ودرجة تشوبيها للصورة مختلفة بحسب نوع الضوضاء وتأثيراتها وأول عملية تؤدي الى ظهورها هي عملية اكتساب او تسجيل الصورة الرقمية والتي يتم من خلالها تحويل الصورة الرقمية إلى إشارة كهربائية تخضع لعملية التقسيم والتكميم Sampling and quantization عند الانتقال خطوة خطوة لتسجيل الصورة تحدث هناك تقلبات بسبب الظواهر الطبيعية في مركبات منظومة التصوير ومحيطها تؤدي إلى إضافة قيم عشوائية إلى القيم الأصلية للإضاءة لكل عنصر من عناصر الصورة [4] والضوضاء المرافقه إلى الصورة الناتجة من أنظمة التصوير المختلفة بأنماط مختلفة معتمدة على نوع النظام التصويري وطبيعة الموجات المستخدمة فيه وعلى ما يحيطها من ظروف بيئية إثناء عملية التصوير أو العرض [5].

يمكن تحديد رؤية الضوضاء Noise Visibility في الصورة بالاعتماد على ما يلي [6].

١. نوع نمط الضوضاء.
٢. شدة الضوضاء كمقدار وتشمل التغيرات Variance والمدى الديناميكي Dynamic Range والتوزيع الاحصائي Distribution Histogram.
٣. خلفية (أرضية) الصورة Image Background.

١- تشخيص الضوضاء في الصورة diagnostics of noise in Image

لمعرفة نوع الضوضاء وخصائصها الإحصائية في الصورة تحتاج إلى معرفة لنظام التصوير المستخدم وظروف التصوير لكن في بعض الأحيان تكون هذه البيانات المعلومانية غير متوفرة ويجب استخلاصها من الصور مباشرة وذلك كما يلي:-

١. تحديد الخصائص الإحصائية للضوضاء ومن ثم تحديد نوع الضوضاء والتي تعتمد عادة على التحليل البصري للصورة مع الأخذ بنظر الاعتبار المعرفة الأولية بنوع نظام التصوير الذي أنتج تلك الصورة [7].
٢. معرفة الموديل الرياضي للضوضاء في الصورة والتي تتم عن طريق التحليل النظري للضوضاء بالاستناد إلى معلومات أولية مسبقة عن نظام التصوير [8].

2- أنواع الضوضاء Noise types

يمكن تصنيف أنواع الضوضاء رياضياً كما يلي:

١. الضوضاء الجمعية Additive noise.
٢. الضوضاء الضريبية Multiplicative noise.
٣. ضوضاء الملح والبهار Salt and pepper noise.

3- مرشحات إزالة الضوضاء وتقنيات تخمين الجودة المقترحة

دراسة التشوهدات التي تسببها المرشحات الرقمية لإزالة الضوضاء الجمعية (الكاووسية Gaussain) من الصورة حيث اعتمدت مرشح رقمي هو مرشح المنوال لإزالة الضوضاء وطبقت على الصور الأصلية والصور المشوهة بالضوضاء ولحالات مختلفة. التشوهدات الناتجة من استخدام هذه المرشحات تم اختيارها باختيار عدد من المعايير الكمية المقترحة لتخمين جودة الصورة وكفاءة المرشح وهذه المعايير هي (معدل مربع الخطأ المعياري NMSE والانتروبي Entropy والتباين Contrast). كما اعتمدت معايير في اختبار مناطق الصورة المتباينة المستقطعة وهي حفظ المعدل Conservative of mean ونسبة الإشارة إلى الضوضاء SNR ومعدل مربع الخطأ المعياري NMSE والانتروبي Entropy والتباين (Contrast) وقد تم بناء خوارزميات متعددة لهذا الغرض.

3-1 Entropy

الانتروبي هو عبارة عن مقياس لدرجة العشوائية randomness لمجموعة متغيرات عشوائية ويتم الحصول على العشوائية الصغرى عندما يكون أحد المتغيرات العشوائية أحادي ومنه يمكن أن نعرف نتيجة العشوائية [9].

3-2 التباين contrast

التباين هو معيار مهم جداً في عملية تقييم معلومات الصورة الرقمية وتحديد مقدار التشوه الحاصل فيها . والتباين يحدد من مقدار الفصل الموقعي للعناصر من الصورة الرقمية وان هذا يظهر بوضوح في مناطق الحالات بين عناصر الصورة (أي المناطق المختلفة في الشدة الرمادية)، حيث أن الصورة ذات التباين - العالي تكون ذات فروق كبيرة في مستويات الشدة الرمادية لمناطق الصورة المجاورة [10].

4- معايير تخمين الجودة المقترحة

تم في هذا البحث استخدام مرشح المنوال لإزالة الضوضاء الجمعية وقد اعتمدت حجم نافذة الترشيح 3×3 و 5×5 في دراسة الصور الناتجة من عملية الترشيح وذلك باختيارها باستخدام معايير جودة متعددة تجرى عملياتها الحسابية على مستوى الصورة كل للصورة الأصلية والمحسنة لغرض معرفة خصائصها الإحصائية والمقارنة بينها قبل عملية الترشيح وبعدها وبيان تأثير الضوضاء وبيان تأثير التشوه الذي تسببه المرشحات المعتمدة في إزالة الضوضاء.

و هذه المعايير هي حساب ١ NMSE لكل الصورة وحساب ٢ NMSE في مناطق متجانسة مستقطعة من الصورة كما تم حساب التباين والانتروبي للصورة ككل فضلاً عن حسابها في مناطق الصورة المتجانسة ومناطق الحافات لنسبة الإشارة إلى الضوضاء SNR تحسب SNR لكل منطقة متجانسة مستقطعة للصورة الأصلية المشوهة والمعلجة وذلك باعتماد المعاملة التالية [11]:-

$$SNR = \frac{\bar{I}}{\sigma_I} \quad \dots \quad (1)$$

معدل مربع الخطأ المعياري (NMSE)

اعتمد هذا المعيار على حساب معدل مربع الخطأ المعياري بين الصورة الأصلية $R(x,y)$ والصورة المعلجة $\hat{R}(x,y)$ وذلك باستخدام العلاقة التالية:-

$$NMSE = \frac{1}{L} \sum_{x,y}^L (R(x,y) - \hat{R}(x,y))^2 \quad \dots \quad (2)$$

L :- عدد البيانات التي خضعت للمقارنة

5- الكشف الحافي The Edge Detection

تعرف عملية كشف الحواف بأنها تعتمد بصورة أساسية على عدم الاستمرار في دالة التجانس لصفات مناطق الصورة أي إن الحواف ظاهرة قد يكون سببها عدم استمرار في قيم المستويات الرمادية . ولكن تكون عملية الكشف الحافي فعالة وكفوءة بفضل إزالة الضوضاء وتقليل تأثيرها قبل الكشف الحافي ويتم ذلك باستخدام نواذب بأحجام 3×3 أو 5×5 وتحديد مجال التأثير بها لكشف الحافات أو اعتماد معالجة أولية قبل استخدام مرشحات التعليم لإزالة الضوضاء ثم استخدام مؤشرات الكشف الحافي إن عملية تحليل الصور واستنتاج المعلومات منها تعتمد بشكل كبير على طرق الكشف الحافي وتحديد الحافات والحدود للمناطق والأجسام إن مؤشرات الكشف الحافي عادة تكون على شكل نواذب لحساب الانحدار (gradient) في قيم الشدة الرمادية للصورة[12].

6- النتائج والمناقشة والاستنتاجات

درست مقدار استقرارية الشدة الرمادية (ثبات المعدل μ) ومقدار نسبة الإشارة إلى الضوضاء SNR في مناطق الصورة المتجانسة وتاثير عملية الترشيح على هذه المعاملات . كما تم دراسة معاملات إحصائية جديدة لتحديد خصائص أخرى للصورة في مناطقها المتجانسة وهي التباين والانتروبي فضلاً عن ذلك دراسة التباين والانتروبي لمناطق الصورة المختلفة حيث درست على كل مستوى الصورة وفي مناطقها الحافية ومناطقها غير الحافية وذلك لتحديد مقدار العشوائية في الصورة ومقدار الغواشية الناجمة عن استخدام وتكرار عملية التعليم بواسطة المرشحات.

6-1 الصورة المعتمدة في الدراسة

لقد اعتمدت صورتان في الدراسة وهي صورتالينا Lena والبيت House وهما صورتان حقيقيتان خاليتان من التشوهات بحجم (256×256) عنصر ومستويات الشدة الرمادية لهما تتراوح ما بين $(0 \rightarrow 255)$.

6-2 نتائج تحسين الصور المشوهة بضوضاء جمعية

لقد اعتمدنا على الضوضاء الكاووسية Gaussian noise في دراستنا هذه بانحراف معياري $\sigma = 5$ و $\mu = 0$ وبمعدل $\mu = 0$ حيث قمنا بإضافة الضوضاء الكاووسية إلى الصورة الأصلية الخالية من الضوضاء للحصول على صور مشوهة بالضوضاء الكاووسية وهذه الصورة موضحة في الشكل (١).



الصورة الأصلية

الصورة المشوبة بالضوضاء الكاووسية $\sigma = 5$



الصورة المشوبة بالضوضاء الكاووسية $\sigma = 10$



الشكل (1) يوضح الصور الأصلية للبنا والبيت والصور المشوبة بالضوضاء الكاووسية المستخدمة في هذه الدراسة

no.itr=1



no.itr=2



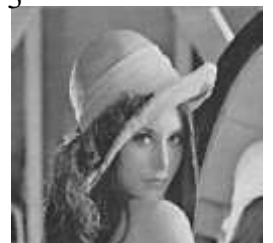
no.itr=3



Mode Filter 3*3



Mode Filter 3*3



Mode Filter 5*5



Mode Filter 5*5



Mode Filter 3×3



Mode Filter 3×3

$NG \sigma = 5$

no.itr=1

no.itr=2

no.itr=3



Mode Filter 5×5

$NG \sigma = 5$



Mode Filter 5×5

$NG \sigma = 5$

تابع للشكل (١)



Mode Filter 3×3

$NG \sigma = 10$



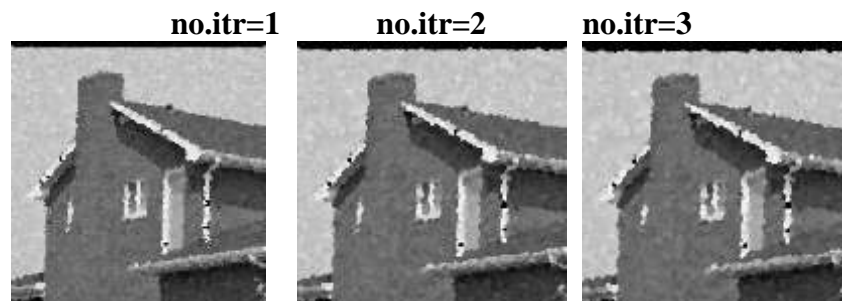
Mode Filter 3*3

NG $\sigma = 10$



Mode Filter 5*5

NG $\sigma = 10$



Mode Filter 5*5

NG $\sigma = 10$

تابع للشكل (١)

٦-٣ نتائج الاختبارات الكمية

تم استقطاع خمسة مقاطع من مناطق متجانسة من الصورة ذات معدلات شدة رمادية مختلفة (μ) كما في الشكل (٢).



الشكل (٢) يوضح هذا الشكل الصورة الأصلية مع ظهور بلوكتات مربعة تشير للمناطق المتجانسة المستقطعة والجداول (١) و(٢) يوضح خصائص هذه المناطق المستقطعة من معدل وانحراف معياري لصورتي البيت ولينا على التوالي.

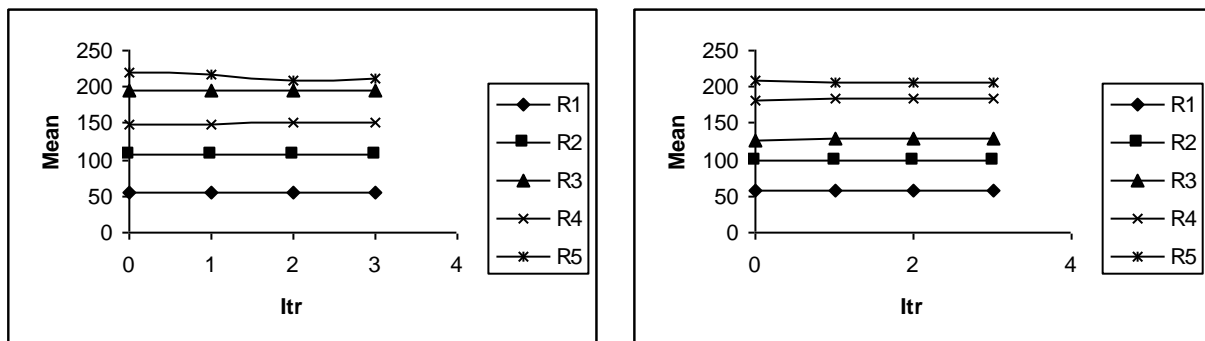
	Mean (μ)	STD (σ)
R1	56	6.55
R2	107	7.41
R3	١٤٨	6.24
R4	194	29.02
R5	221	16.57

	Mean (μ)	STD (σ)
R1	57	5.61
R2	99	6.97
R3	127	6.74
R4	182	10.48
R5	208	6.81

(١)

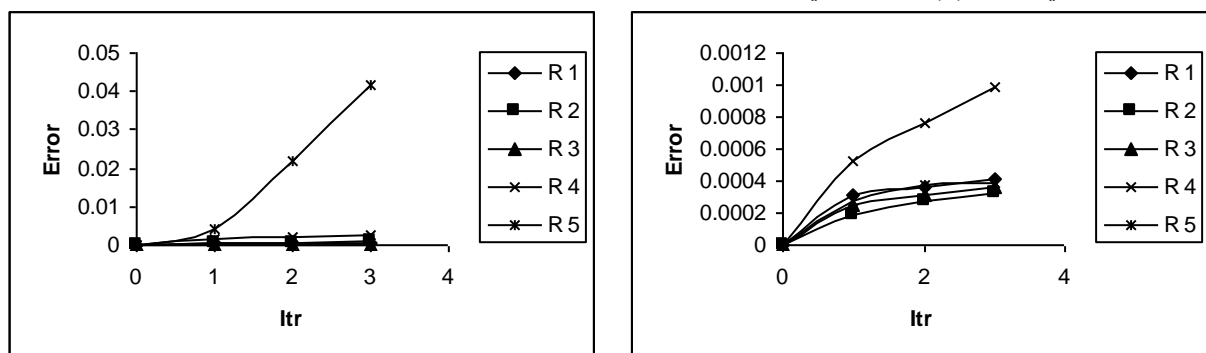
حيث إن هذه المناطق المتاجسة درست خصائصها قبل وبعد إضافة الضوضاء وبعد تطبيق مرشح التباعيم المنوال حيث درست قيمة المعدل μ وقيم نسب الإشارة إلى الضوضاء SNR. في هذه المناطق وتأثيرها بعملية الترشيح وتكرارها حيث تم ملاحظة بأن المعدل μ تقريبا ثابت مستقر في جميع الحالات ولجميع المرشحات.

حيث نلاحظ ثبات المعدل (μ) مع عدد التكرارات عملية التباعيم itr في صورة لينا بينما في صورة البيت يحدث تغير في قيمة المعدل (μ) مع عدد التكرارات لعملية التباعيم itr في المناطق المتاجسة كما في الشكل (٣).



Mod Filter 5*5

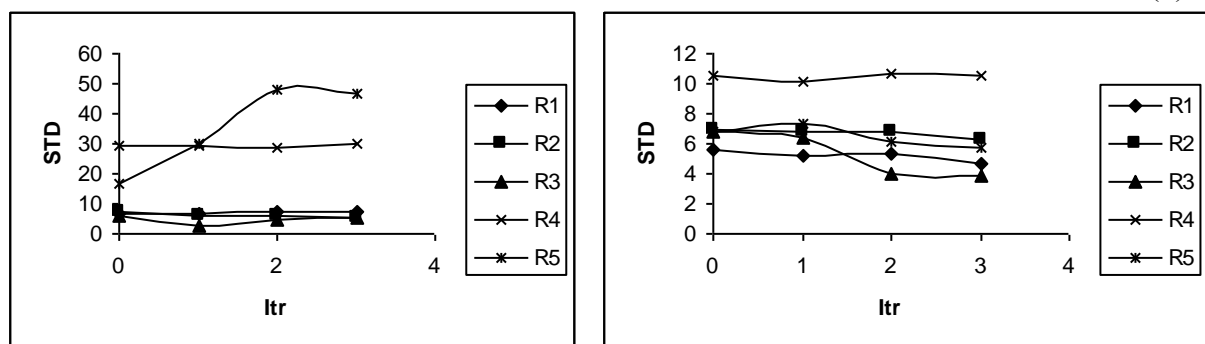
الشكل (٣) توضح هذه العلاقة بين عملية عددت تكرارات التباعيم Itr مع معدل للمناطق المتاجسة المستقطعة من صورتي لينا والبيت الأصليين. لأحجم نافذة التباعيم 5*5. نلاحظ اختلاف بسيط وملحوظ مما يدل إن هذا المرشح له تأثير على المعدل. إما في معدل مربع الخطأ العياري للمناطق المستقطعة نلاحظ زيادة في مقدار NMSE2 في المناطق المتاجسة للصورة بزيادة عدد مرات التباعيم كما نلاحظ بشكل عام انخفاض هذا الخطأ عند استخدام نافذة 5*5 ووجود مناطق متاجسة ملحوظة في صورتي لينا والبيت كما في الشكل (٤) على التوالي.



Mod Filter 5*5

الشكل (٤) تبين هذه الرسوم العلاقة بين عدد تكرارات عملية التباعيم (Itr) مع NMSE للمناطق المتاجسة من صورتي لينا والبيت أحجم نافذة تباعيم 5*5.

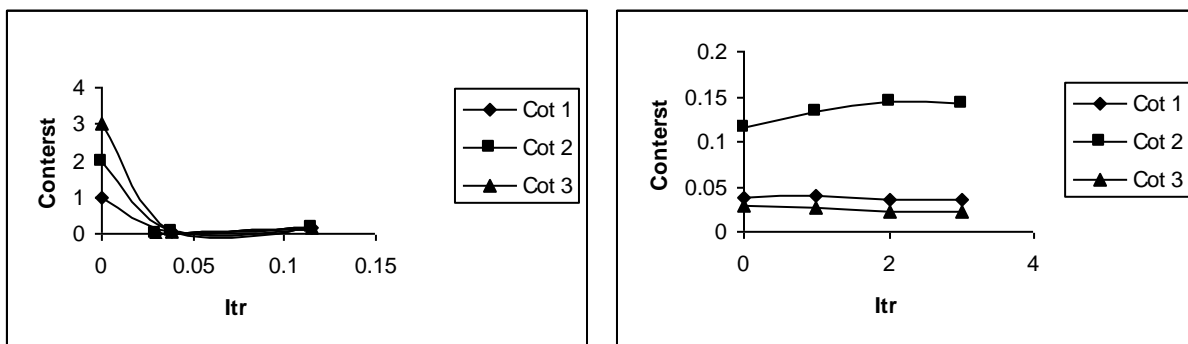
نلاحظ تغير بسيط في STD في المناطق المستقطعة مما يدل على عدم وجود الضوضاء التي تؤثر على صورتي لينا والبيت كما في الشكل (٥).



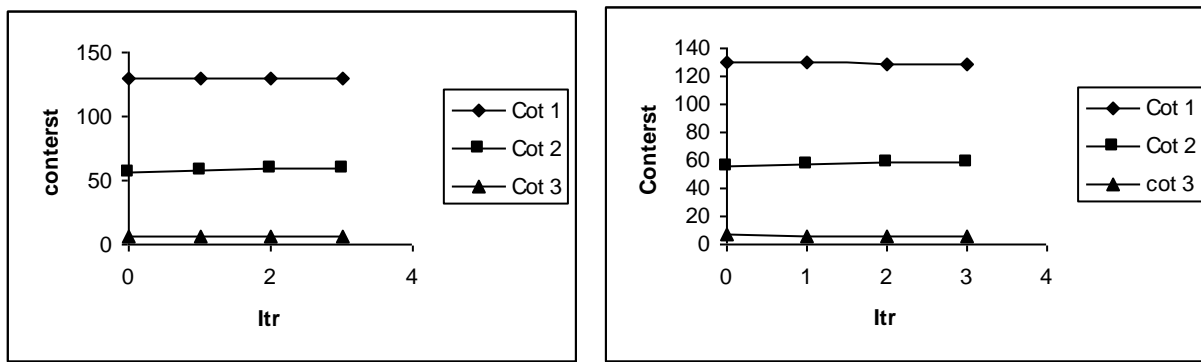
Mod Filter 5*5

الشكل (٥) الرسوم تبين العلاقة بين عدد تكرارات عملية التباعيم (Itr) مع STD إلى الضوضاء للمناطق المتاجسة من صورتي لينا والبيت الأصليين على التوالي. ولنأخذ تباعيم 5*5.

إما التباين لكل الصورة فإنه يتأثر بشكل واضح عند استخدام عملية التعيم حيث إن هناك تغيراً بسيطاً في التباين وخاصة في المناطق الحافية في صورتي لينا والبيت كما في الشكل (6) على التوالي.

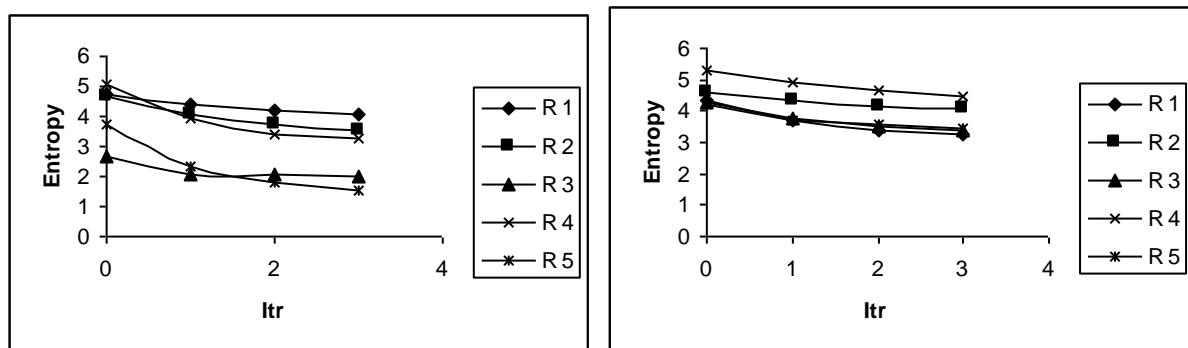


الشكل (٦) مع التباينات لكل مستوى الصورة Cot1 ولمناطق الحافية Cot2 ولمجالات غير الحافية Cot3 لصورة لينا .. وباستخدام نوافذ (٥*٥، ٣*٣، ٥*٥).



الشكل (٧) مع التباينات لكل مستوى الصورة Cot1 ولمناطق الحافية Cot2 ولمجالات غير الحافية Cot3 لصورة لبيت .. وباستخدام نوافذ (٥*٥، ٣*٣، ٥*٥).

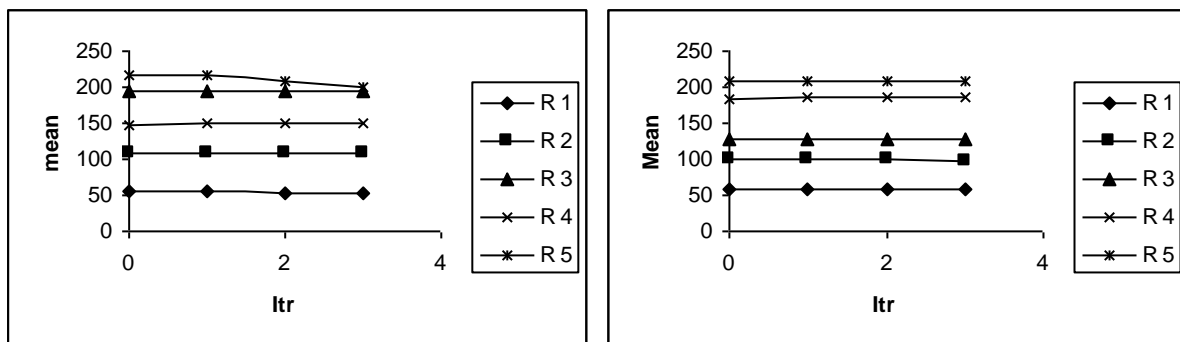
والانتروبي لمناطق المستقطعة نلاحظ عدم وجود تغير واضح في الانتروبي وذلك لعدم تأثير النظام وعدم تشوه ترتيبه لذلك فإنه شبه مستقر في صورتي لينا والبيت كما في الشكل (8).



Mod Filter 5*5

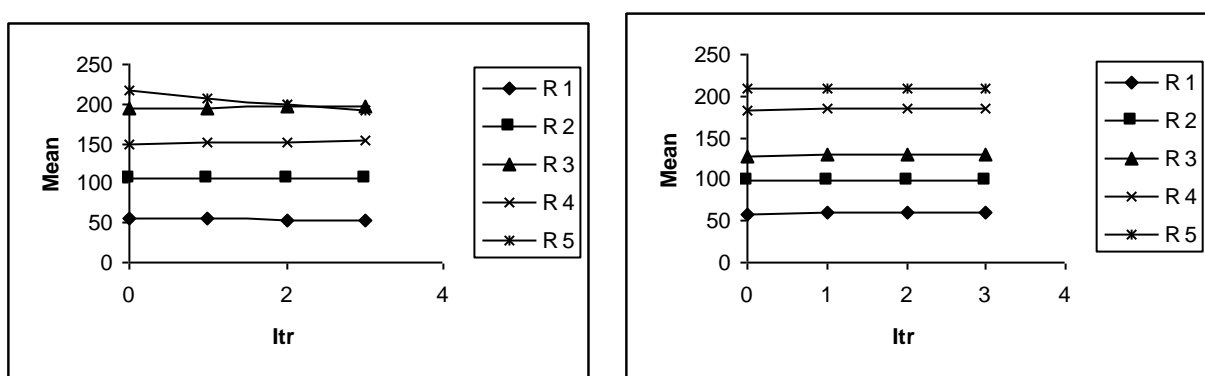
الشكل (٨) يبين العلاقة بين عدد التكرارات عملية التعيم(Itr) مع الانتروبي لمناطق المستقطعة من صورتي لينا والبيت الأصليتين على التوالي . لحجم نافذة تعيم ٥*٥.

و عند إضافة الضوضاء الكاوسيّة ذات الانحراف المعياري $\sigma = 5$ و $\sigma = 10$ إلى صورتي البيت و لينا حيث نلاحظ فيها عدم تغير المعدل (μ) بالنسبة لعدد التكرارات عملية التعيم itr بينما في صورة البيت يكون تغير بسيط مما يدل على وجود الضوضاء التي أدت إلى التغير كما في الشكل (9) و(10) على التوالي .



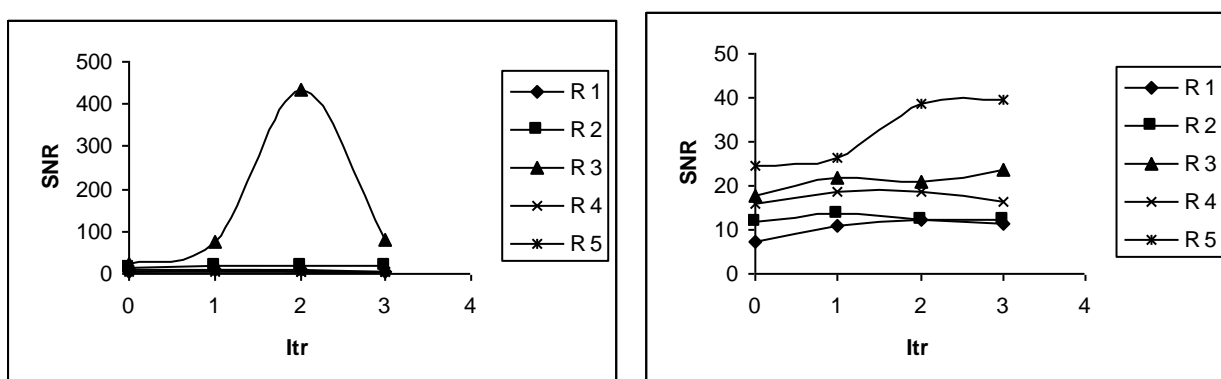
Mod Filter 5*5

الشكل (9) تبين هذه الرسوم العلاقة بين عدد التكرارات عملية التعميم (Itr) مع معدل للمناطق المستقطعة لصورتي لينا والبيت المشووبتين بالضوابط الكاوسيّة ذات انحراف معياري $\sigma = 5$ لحجم نافذة التعميم 5×5 .



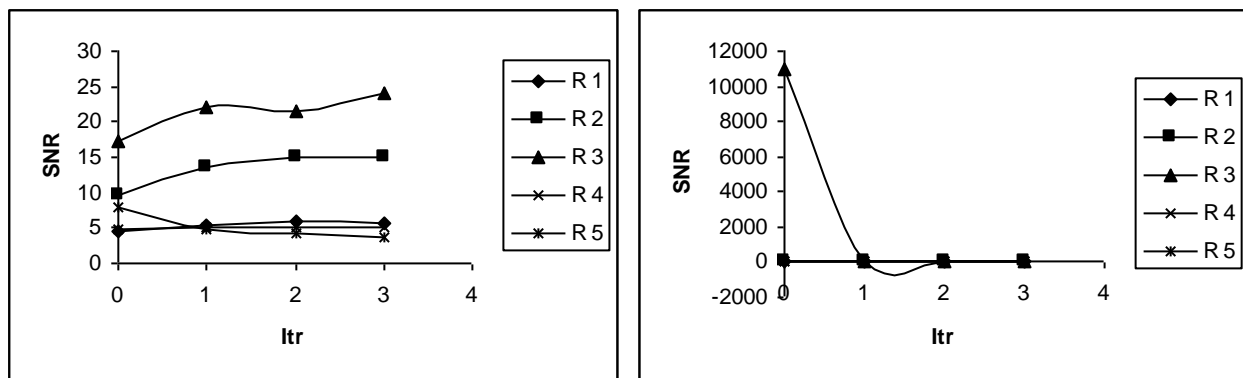
الشكل (10) يبيّن العلاقة بين عدد التكرارات عملية التعميم (Itr) مع معدل للمناطق المستقطعة لصورتي لينا والبيت المشووبتين بالضوابط الكاوسيّة ذات انحراف معياري $\sigma = 10$ لحجم نافذة التعميم 5×5 .

إما بالنسبة إلى نسبة الإشارة إلى الضوضاء SNR للمناطق المستقطعة المتباينة نلاحظ عند إضافة ضوضاء ذات الانحراف المعياري $\sigma = 5$ وللينا فأننا نلاحظ تناقص في قيمة المرشح عند استخدام نافذة 5×5 إما بالنسبة إلى صورة البيت فأننا نلاحظ في هذه الرسوم القيم تبدأ بالتناقص بالنسبة إلى نفس المرشح في انحراف معياري $\sigma = 10$ على التوالي بسبب وجود المنطقة المتباينة كما في الشكل (11) و(12) على التوالي.



Mod Filter 5*5

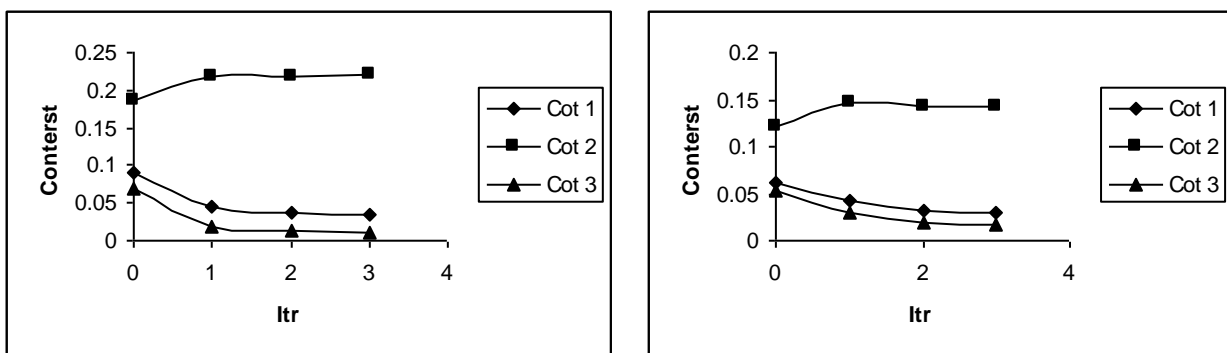
الشكل (11) توضح هذه الرسوم العلاقة بين عدد التكرارات عملية التعميم (Itr) مع نسبة الإشارة إلى الضوضاء للمناطق المستقطعة المتباينة لصورتي لينا والبيت المشووبتين بالضوابط الكاوسيّة ذات انحراف معياري $\sigma = 5$ لحجم نافذة التعميم 5×5 .



Mod Filter 5*5

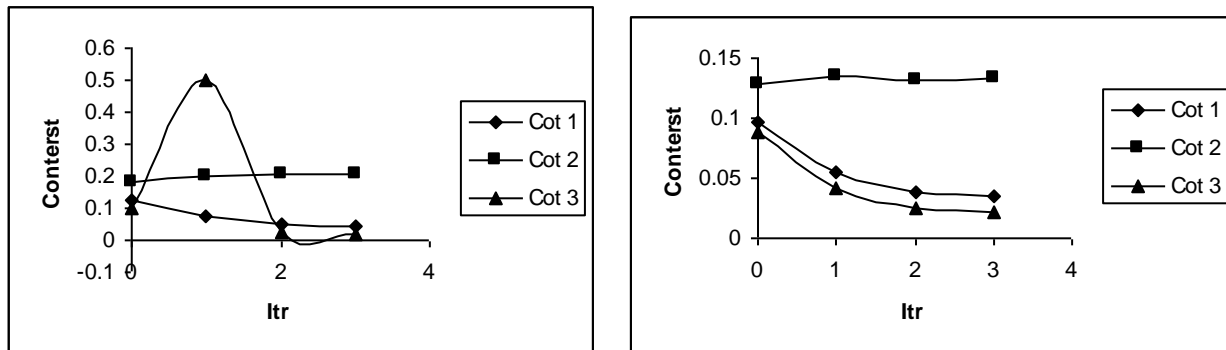
الشكل (12) موضح العلاقة بين عدد التكرارات عملية التعميم (Itr) مع نسبة الإشارة إلى الضوضاء للمناطق المستقطعة المتاجنسة لصورتي لينا والبيت المشووبتين بالضوضاء الكاوسيّة ذات انحراف معياري $\sigma = 5$ لحجم نافذة التعميم ٥*٥.

إما بالنسبة إلى التباين لكل الصورة نلاحظ بان قيم التباين لمناطق الصورة كل يكون عدد التكرارات لعملية التعميم Itr ثابتة تقريباً والتباين لمناطق الصورة المتاجنسة وهذا التباين ينخفض بشكل واضح مع زيادة عدد مرات التعميم إما التباين لمناطق الحافة فإنه يزداد مع زيادة عدد مرات التعميم في صورتي لينا والبيت وعند إضافة ضوضاء ذات انحراف معياري $\sigma = 10$ في صورة البيت كما في الإشكال (13) و(14) على التوالي ونلاحظ كذلك وجود استقرارية في القيم وظهور مناطق متاجنسة ملحوظة وهذا التغير البسيط للمرشح يعود إلى صورتي لينا والبيت كما في الشكل (13) و(14) على التوالي .



Mod Filter 5*5

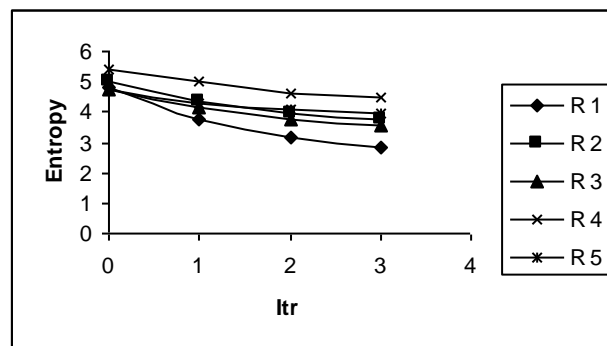
الشكل (13) مع التباينات لكل مستوى الصورة Cot1 وللمناطق الحافية Cot2 وللمناطق غير الحافية Cot3 لصورتي لينا والبيت المشووبتين بالضوضاء الكاوسيّة ذات انحراف معياري $\sigma = 5$ لحجم نافذة التعميم ٥*٥.



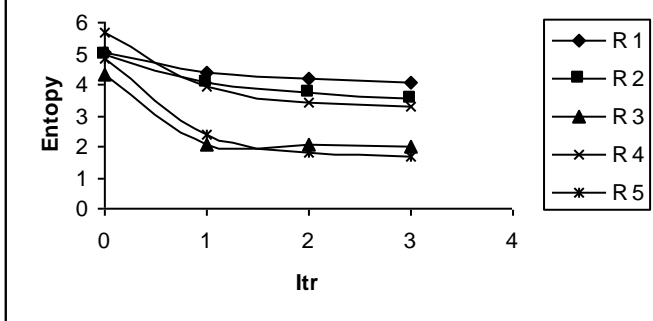
Mod Filter 5*5

الشكل (14) مع التباينات لكل مستوى الصورة Cot1 وللمناطق الحافية Cot2 وللمناطق غير الحافية Cot3 لصورتي لينا والبيت المشووبتين بالضوضاء الكاوسيّة ذات انحراف معياري $\sigma = 10$ لحجم نافذة التعميم ٥*٥.

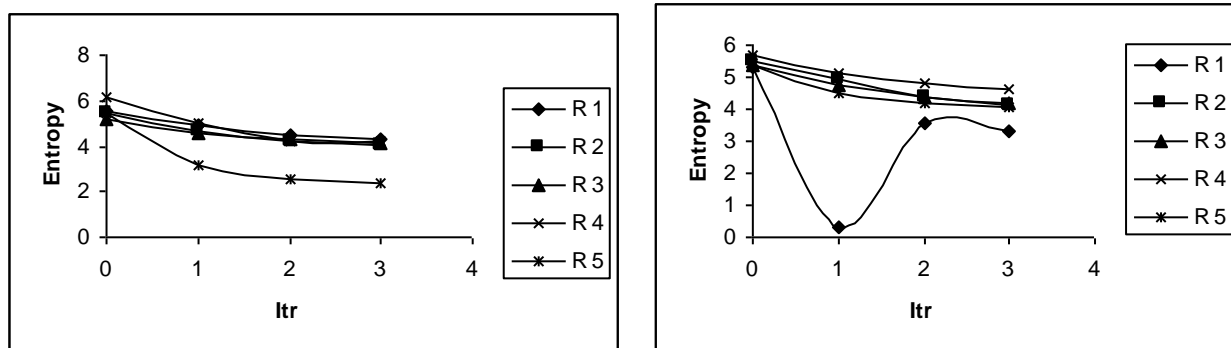
الانتروبي للمناطق المستقطعة نلاحظ عند إضافة الضوضاء له ينخفض بشكل بسيط ولجميع مناطق الصورة المتاجنسة وبالنكرارات المتتابعة لعملية التعميم يبدأ المنحنى بالاستقرار في صورة لينا بينما في صورة البيت هناك تغير ملحوظ في القيم مما أدى إلى ظهور هذه الرسوم التي تدل على وجود الضوضاء في المناطق المستقطعة كما في الشكل (15) و(16) على التوالي .



Mod Filter 5*5



الشكل (١٥) تبين هذه الرسوم العلاقة بين عدد التكرارات عملية التعيم (Itr) مع انتروبي المناطق المستقطعة المتباينة لصورتي لينا والبيت المشووبتين بالصوضاء الكاوسي ذات انحراف معياري $\sigma = 5 \times 5$ لحجم نافذة التعيم .



الشكل (١٦) توضح العلاقة بين عدد التكرارات عملية التعيم (Itr) مع انتروبي المناطق المستقطعة المتباينة لصورتي لينا والبيت المشووبتين بالصوضاء الكاوسي ذات انحراف معياري $\sigma = 10 \times 5$ لحجم نافذة التعيم .

Reference:

- 1.Huda Shawki Khil AL-Ghrabi, "Quantum analysis of noise in Photonic system", M.Sc. Thesis, physics Dept, College of Education for Woman, Baghdad University, (2001).
- 2.Nowak, R.D., "Wavelet – Domain filtering for photo Image systems", LEEE Transactions on Image processing, (1997).
- 3.S.E.Um baugh, "Computer nision and image processing". Apartial approach using CVIP tools, prentice – Hall, PTR Upper. Saddle River, Nj 07458, (1998).
- 4.S.J.Sang wine and R.W.Novne, "The colour Image processing Hang. Book, ch apman and Hall, (1998).
- 5.Richard, L., Scheaffer and Meclaves., "Probablity and statistics for Engineering" 2nd ed. Printed the U.S.A.(1986).
- 6.Sira "Color image processing", btp: ece.ut ac. Ir/class pages/ Image processing pdf, (seein 2003).
- 7.R.C.Gouzaalez, and R.E.Wood, "Digital image processing", prentice – Hall Inc., (2002).

- 8.Suha Hussein Ibraheem Al-A,Adamy. "Ultrsonic", Ultrasonic Report, physics Dept., College of Science, Al-Mustansiriya Univ, (2002).
- 9.Ali abid Dawood Al-Zukiy, "Quantum analysis of synthetic aperture radar (SAR) images". Ph.D.Thesis, collage of science, Baghdad Univ., (1998).
10. Kenueth, R., Castleman, "Digital Image processing", Prentice. Hall, (1979).
11. Ali Abid Dawood Al-Znky "Modify additive Lees filter by using circular smoothing window", Accepted to be published in collage of Education J., Al-Mustansiriya Univ, (2002).
١٢. ايتن نوري حسين البياتي "طريقة محسنة لتخمين الحدة في الصورة بالاعتماد على الكشف الحافي" الجامعة المستنصرية (٢٠٠٥).